

VYSOKÁ ŠKOLA STROJNÍ A TEXTILNÍ V LIBERCI  
NOSITELKA ŘÁDU PRÁCE

Fakulta strojní

Obor: 23 - 21 - 8

Strojní zařízení pro chemický, potravinářský a spotřební průmysl

Zaměření: textilní a oděvní stroje

Katedra textilních a oděvních strojů

Dynamika přírazového mechanismu tkacího stroje

Jiří Mrázek

Vedoucí práce: Doc.Ing. Jiří Mrázek, CSc

Počet stran:	48
Počet příloh:	42
Počet tabulek:	6
Počet obrázků:	8
Počet výkresů:	1
Počet modelů:	-

Vysoká škola strojní  
Vysoká škola: a textilní v Liberci

Fakulta: strojní

Katedra: textilních a oděvních  
strojů

Školní rok: 1987/88

# ZADÁNÍ DIPLOMOVÉ PRÁCE

(PROJEKTU, UMĚleckého díla, UMĚleckého výkonu)

pro .....  
Jaroslava Blahu

obor 23-21-8 Stroje a zařízení pro chemický, potravinářský a  
spotřební průmysl.

Vedoucí katedry Vám ve smyslu nařízení vlády ČSSR č. 90/1980 Sb., o státních závěrečných zkouškách a státních rigorózních zkouškách, určuje tuto diplomovou práci:

Název tématu: Dynamika přírazového mechanismu tkacího stroje.

## Zásady pro vypracování:

- 1) Proveďte rozbor dosavadních řešení na čtyřčlenném a šestičlenném mechanismu.
- 2) Sestavte dynamický model šestičlenného přírazového mechanismu typu OK a porovnejte se čtyřčlenným.
- 3) Sledujte vliv vůlí v náhonu u čtyřčlenného a šestičlenného řetězce.
- 4) Navrhnete konstrukční úpravy směřující ke zlepšení dynamických vlastností.

VYSOKÁ ŠKOLA STROJNÍ A TEXTILNÍ  
Ústřední knihovna  
LIBERECKA, STUDENTSKA 6  
PSČ 461 17

Rozsah grafických prací: Průběhy vypočtených kinematických veličin  
Konstrukční schéma

Rozsah průvodní zprávy: 15-20 stran strojopisu form. A4

Seznam odborné literatury:

Mrázek, J.: Dynamické vlastnosti tkacích strojů.  
Výzk. zpráva, VŠST Liberec, 1985

Vedoucí diplomové práce: Doc. Ing. Jiří Mrázek, CSc.

Datum zadání diplomové práce: 30. 9. 1987

Termín odevzdání diplomové práce: 10. 5. 1988

L. S.

Prof. Ing. Vl. Prášil, DrSc.  
Vedoucí katedry

*VL Prášil*  
Prof. Ing. Vl. Prášil, DrSc.  
Děkan

v Liberci dne 25. 9. 1987

Místopřísežně prohlašuji, že jsem diplomovou práci  
vypracoval samostatně s použitím uvedené literatury.

V Liberci, dne 2.5.1988

Pavel Bláha

Děkuji tímto vedoucímu diplomové práce  
doc. Ing. Jiřímu Mrázkovi, CSc za odborné vedení diplo-  
mové práce a Ing. Liborovi Tůmovi za podnětné připo-  
eníky a rady k diplomové práci.

Seznam použitých symbolů

<u>Symbol</u>	<u>Název</u>	<u>Jednotka</u>
$\varphi$	úhlová dráha	rad
$\dot{\varphi} = \omega$	úhlová rychlosť	rad $s^{-1}$
$\ddot{\varphi} = \epsilon$	úhlové zrychlení	rad $s^{-2}$
$c$	konstanta tuhosti	Nm
$k$	konstanta tlumení	Nm s
$I$	hmotný moment setrváčnosti	kg $m^2$
$M$	moment	Nm
$\alpha$	úhel	rad
$l$	délka	m
$x, y$	souřadnice úložných bodů	m
$v, y, u$	modelovaná výle	rad
$\Omega$	frekvence	Hz
$F$	přírazná síla	N

## SEZNAM PŘÍLOH

- A1 - A16 Grafické závislosti-čtyřčlenný přírazový mechanismus
  - B1 - B17 Grafické závislosti-šestičlenný přírazový mechanismus
  - C1 - C5 Grafické závislosti-čtyřčlenný přírazový mechanismus-oboustranný náhon
  - MRM1 Program matematického modelu-4.čl.mechanismus-oboustranný náhon
  - MRM6 Program matematického modelu-6.čl.mechanismus
  - MRM8 Program matematického modelu-4.čl.mechanismus
- Výkres čtyřčlenného přírazového mechanismu

OBSAH

1. Úvod	8
2. Výstava textilních strojů - ITMA 87	9
3. Přírazové mechanismy tkacích strojů	12
4. Matematický model přírazového mechanismu	13
4.1. Matematický model- čtyřčlenný přírazový mechanismus	14
4.2. Matematický model- šestičlenný přírazový mechanismus	17
4.3. Matematický model- čtyřčlenný přírazový mechanismus-oboustraný náhon	19
5. Určení převodových funkcí	21
6. Přesobení osnovy	24
7. Zavedení vůlí	26
8. Průběh hnacího momentu $M_2$	27
9. Stanovení vstupních parametrů	28
9.1. Geometrické rozměry-čtyřčlenný přírazový mechanismus	29
9.2. Geometrické rozměry-šestičlenný přírazový mechanismus	30
10. Popis sestavených programů	31
11.1. Vyhodnocení-čtyřčlenný přírazový mechanismus	33
11.2. Vyhodnocení-šestičlenný přírazový mechanismus	36
11.3. Vyhodnocení-čtyřčlenný přírazový mechanismus-oboustranný náhon	38
12. Závěr	40
13.1. Tabulka-čtyřčlenný přírazový mechanismus	42
13.2. Tabulka-šestičlenný přírazový mechanismus	44
13.3. Tabulka-čtyřčlenný přírazový mechanismus- -oboustraný náhon	47
Použitá literatura	48

## 1. ÚVOD

V současné době dochází ke stále větší spotřebě textilií a spotřeba stále vzrůstá. Proto se výrobci tkacích stavů zaměřují na zvyšování výkonů.

Na moderní výkonný stroj jsou kladený tyto požadavky:

- vysoký výrobní výkon
- nízká spotřeba energie na jednotku výkonu
- bezpečnost a spolehlivost chodu
- maximální využití materiálů
- co největší možný stupeň automatizace
- co největší možný stupeň unifikace jednotlivých částí

Se zvyšujícím se výkonem a spolehlivostí současných tkacích stavů se dostává do popředí otázka správné a přesné funkce jednotlivých mechanických uzlů na tkacím stroji.

Jedná se hlavně o mechanismy prošlupního, prohozniho, odtahovacího, podávacího ústrojí, ale jedná se zde také o přírazový mechanismus tkacího stroje. Tyto mechanismy jsou v důsledku stále zvyšujících se otáček více zatěžovány dynamickými silami.

Tím vyvstává pro konstruktéry tkacích stavů dálší velký problém a to je kmitání částí strojů či celých strojů. Řešení těchto velice složitých problémů umožňuje výpočetní technika.

## 2. VÝSTAVA TEXTILNÍCH STROJŮ - ITMA 87

Světová výstava textilních strojů ITMA 87 v Paříži neprinesla principielně nové textilní technologie a novou techniku, ale přinesla zintenzivnění výzkumu existujících principů, jejich konstrukční řešení a precizní strojařské provedení.

### Hydraulické tkací stroje

Výkony strojů dle zanesených metrů útku za min.:

Firma	Stroj	m /ú/ min
TSUDAKOMA	ZW 303	1 980
ELITEX	H 175 MA	1 720
NISSAN	LW 54	1 700
ELITEX	H 175 MT	1 275
ELITEX	H 175 MS	1 207
NISSAN	LW 34	1 190
METEOR	3H 1100	1 142
ELITEX	H 175 MM	1 039
TSUDAKOMA	ZW 302	1 050

Podrobnější pohled na tabulku ukazuje, že je nutno provádět hodnocení strojů dle šíře a provedení, protože např. barevná záměna je určujícím a omezujícím faktorem výkonu stroje.

Firma	Stroj	m /ú/ min	Barevné záměny
NISSAN	LW 34	1 190	2
ELITEX	H 175 MM	1 139	2
TSUDAKOMA	ZW 302	1 050	4

Rozvoj v oblasti hydraulických stavů lze předpokládat tímto směrem:

- zvýšení výkonu strojů
- dokonalé konstrukční a výrobní provedení všech mechanismů, z čehož vyplýne vyšší spolehlivost a životnost strojů
- rozšíření oblasti zpracování materiálu
- elektronizace v oblasti sběru dat, diagnostiky, nahraď mechanických funkcí
- nástup automatizace a robotizace tkacího procesu

#### Pneumatické tkací stroje

<u>Firma</u>	<u>Prac.šíře /cm/</u>	<u>Max.teor. výkon m/ú/min</u>	<u>Skuteč. výkon</u>
STROJIMPORT	170,130,190, 280	1 615	1 560
PICANOL	190,280,330	2 223	1 825
VAMATEX	170,190,300, 320	2 212	2 055
SÜLZER-RUTTI	190,280,400	1 760	1 672
TSUDAKOMA	190,230,280, 420	1 976	1 789
METEOR	190	1 463	1 371
NISSAN	150,190,350	1 650	1 566
TOYODA	150,190	1 330	1 249
GUNNE	200,230,250	1 140	1 003

Další oblast vývoje pneumatických tkacích strojů:

- nárůst výkonu strojů
- elektronizace/řízení pohonu,mikroprocesorové ovládání funkcí stroje/
- automatizace/automatické pární/

**Československá vzduchová tkací technika**

<u>Stroj</u>	<u>m/ú/ min<sup>-1</sup></u>	<u>prac. šíře /cm/</u>
UNITIS 190 E	1 560	190
JETTIS 280 NFBL R4C	1 540	200-280
JETTIS 190 NFA-RM	1 137,5	190

Skřipcové tkací stroje

<u>Firma</u>	<u>Stroj</u>	<u>prac. šíře /čm/</u>	<u>m/ú/ min<sup>-1</sup></u>
SULZER-RUTTI	P 710	190-540	760-1100
ELITEX	OK 3	160	416
ELITEX	OK 4	120-240	475-576

### 3. PŘÍRAZOVÉ MECHANISMY TKACÍCH STROJŮ

Prvoředou úlohou při tvorbě tkаниny je zatlačení útku do vytvořeného prošlupu určitou silou, která má dynamický charakter. Zatlačení útku je realizováno přírazovým mechanismem tkacího stroje.

Mechanismus přírazu je nutno zařadit ze stránky energetické do hlavních mechanismů tkacího stroje.

V průběhu vývoje vzniklo několik typů přírazových mechanismů:

- kloubové mechanismy

čtyřčlenné, šestičlenné nebo i osmičlenné

Kloubové mechanismy mají velkou výhodu proti vačkovým mechanismům hlavně v jednodušší výrobě.

Nevýhodou kloubových mechanismů je obtížné zajištění klidové výdrže v prohozní poloze a také je to velký počet kloubů u mechanismů s více členy.

U reálných mechanismů se vlivem poddajnosti a závědením vůlí mezi jednotlivými členy mechanismu provádí přídavná namáhání, která výrazně překračují teoretické hodnoty.

- vačkové mechanismy

jsou uskutečněny nejčastěji soustavou inverzních vaček

- speciální přírezové mechanismy

jsou sestaveny kombinací kinematických dvojic kloubových, valivých / vačky, ozubená kola/ nebo smykových /kulisy/ podle svého určení

#### 4. MATEMATICKÝ MODEL PŘÍRAZOVÉHO MECHANISMU

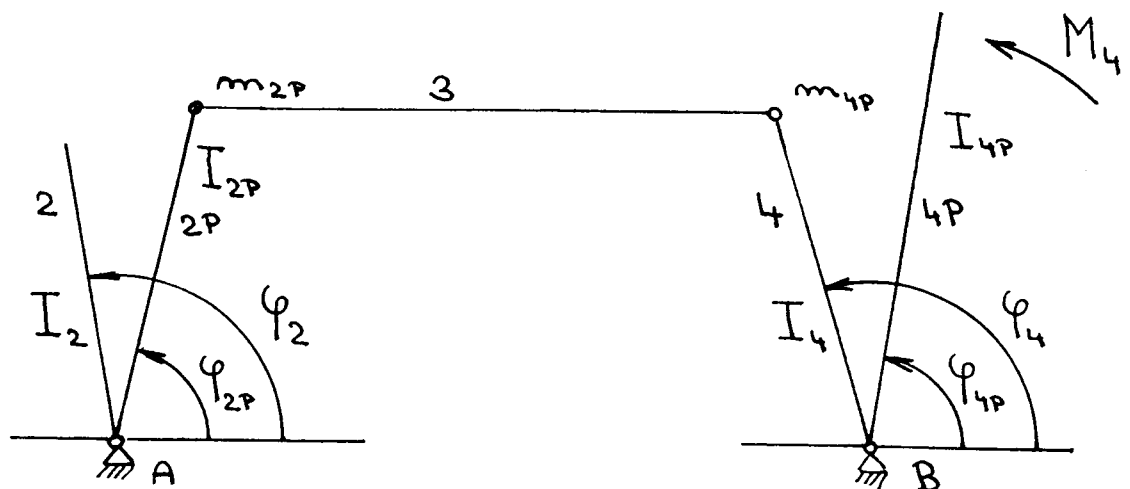
#### TKACÍHO STROJE

Jak již bylo uvedeno na celkové dynamické chování tkacího stroje má základní vliv přírezový mechanismus. Významným parametrem bude průběh kinematických veličin na paprsku v místě přírezu, což v podstatě přímo ovlivňuje kvalitu tkaniny.

Pro rozbor těchto vlastností je vhodné vytvořit matematický model celého přírazového mechanismu, jehož pomocí je možno prověřit optimální strukturu přírazového mechanismu, vliv rozběhu, případně nerovnoměrnosti chodu klikového hřídele na provedení přírazu.

Základní podmínkou pro hodnocení musí být věrnost vytvořeného matematického modelu celého přírazového mechanismu při simulaci skutečných jevů a jednoduchost spolu s možností numerického řešení pomocí výpočetní techniky.

4.1. MATEMATICKÝ MODEL-  
-ČTYŘCLENNÝ PŘÍRAZOVÝ MECHANISMUS



Schema modelu přírazového mechanismu

Matematický popis je proveden na základě následujících předpokladů:

- všechny členy mechanismu a úložné klouby jsou považovány za dokonale tuhé
- těhlež 3 je nahrazena dvěma hmotnými body soustřednými v jejich koncových bodech
- působení osnovy je zavedeno prostřednictvím momentu

$$M_4 = f(\varphi_{4P}) \quad /4.1/$$

- poddajnost náhonu i bidlu je nahrazena torsními tuhostmi  $c_2$ ,  $c_4$  mezi remeny 2-2P a 4-4P
- vstupní veličinou je libovolný pohybový zákon nehmotného členu 2
- mezi členy 2-2P, 4-4P jsou vloženy tlumicí členy s viskozním tlumením
- do modelu byly zavedeny vůle v náhonu i v jednotlivých kinematických dvojicích
- není uvažována vlastní váha členů

Model je matematicky popsán pomocí Lagrangeovy rovnice druhého druhu

$$\frac{d}{dt} \left( \frac{\partial K}{\partial \dot{q}} \right) - \frac{\partial K}{\partial q} = - \frac{\partial U}{\partial q} - \frac{\partial R}{\partial \dot{q}} \quad /4.2/$$

K-kinetická energie soustavy

U-potenciální energie soustavy

R-disipativní funkce

q-obecná souřadnice

$$K = \frac{1}{2} I_{2P} \dot{\varphi}_{2P}^2 + \frac{1}{2} I_4 \dot{\varphi}_4^2 + \frac{1}{2} I_{4P} \dot{\varphi}_{4P}^2$$

$$R = \frac{1}{2} k_2 (\dot{\varphi}_{2P} - \dot{\varphi}_2)^2 + \frac{1}{2} k_4 (\dot{\varphi}_{4P} - \dot{\varphi}_4)^2$$

$$U = \frac{1}{2} c_2 (\varphi_{2P} - \varphi_2)^2 + \frac{1}{2} c_4 (\varphi_{4P} - \varphi_4)^2 + \int M_4 d\varphi_{4P} \quad /4.3/$$

$\varphi_2, \varphi_{2P}, \varphi_4, \varphi_{4P}$  -úhly určující polohu jednotlivých vahadel

$\dot{\varphi}_2, \dot{\varphi}_{2P}, \dot{\varphi}_4, \dot{\varphi}_{4P}$  -úhlové rychosti jednotlivých vahadel

$I_{2P}, I_4, I_{4P}$  -hmotné momenty setrvačnosti jednotlivých členů soustavy

$c_2, c_4$  -torsní tuhosti tyčí mezi členy 2-2P, 4-4P

$k_2, k_4$  -koeficienty viskosního tlumení soustavy

$M_4$  - moment působící na člen 4P vlivem osnovy

Řešením získáme dvě diferenciální rovnice druhého řádu:

$$\ddot{\varphi}_{2P} (I_{2P} + I_4 \omega_{24}^2) = - I_{4P} \omega_{24}^2 \dot{\varphi}_{2P}^2 - c_2 (\varphi_{2P} - \varphi_2) + \\ + c_4 (\varphi_{4P} - \varphi_4) \omega_{24} - k_2 (\dot{\varphi}_{2P} - \dot{\varphi}_2) + \\ + k_4 \omega_{24} (\dot{\varphi}_{4P} - \dot{\varphi}_4) \quad /4.4/$$

$$I_{4P} \ddot{\varphi}_{4P} = -c_4 (\varphi_{4P} - \varphi_4) - M_4 - k_4 (\dot{\varphi}_{4P} - \dot{\varphi}_4)$$

Převodové funkce:

$$\varphi_4 = f_{24} (\varphi_{2P})$$

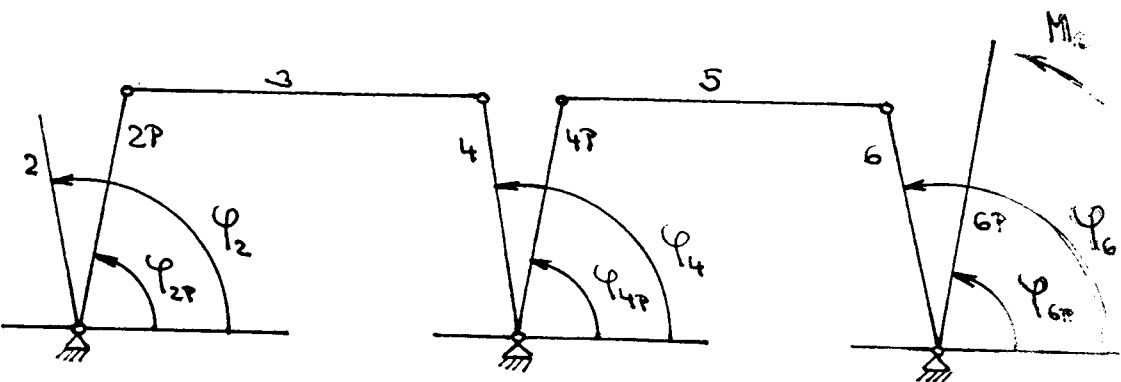
$$\dot{\varphi}_4 = \omega_{24} (\dot{\varphi}_{2P}) \quad /4.5/$$

$$\ddot{\varphi}_4 = \nu_{24} \dot{\varphi}_{2P}^2 + \omega_{24} \ddot{\varphi}_{2P}$$

Převodovými funkcemi je vyjádřena vazba mezi členem 2P a členem 4. Hodnoty převodových funkcí /4.5/ je nutno určit ze čtyřkloubového mechanismu 1,2P,3,4.

## 4.2. MATEMATICKÝ MODEL -

### -ŠESTIČLENNÝ PŘÍRAZOVÝ MECHANISMUS



Schema modelu přírazového mechanismu

Dle schematu lze napsat:

$$K = \frac{1}{2} I_{2P} \dot{\varphi}_{2P}^2 + \frac{1}{2} I_4 \dot{\varphi}_4^2 + \frac{1}{2} I_{4P} \dot{\varphi}_{4P}^2 + \frac{1}{2} I_6 \dot{\varphi}_6^2 + \frac{1}{2} I_{6P} \dot{\varphi}_{6P}^2$$

$$U = \frac{1}{2} c_2 (\varphi_{2P} - \varphi_2)^2 + \frac{1}{2} c_4 (\varphi_{4P} - \varphi_4)^2 + \frac{1}{2} c_6 (\varphi_{6P} - \varphi_6)^2 + \int M_6 d \varphi_{6P}$$

$$R = \frac{1}{2} k_2 (\dot{\varphi}_{2P} - \dot{\varphi}_2)^2 + \frac{1}{2} k_4 (\dot{\varphi}_{4P} - \dot{\varphi}_4)^2 + \quad /4.6/ \\ + \frac{1}{2} k_6 (\dot{\varphi}_{6P} - \dot{\varphi}_6)^2$$

$\varphi_2, \varphi_{2P}, \varphi_4, \varphi_{4P}, \varphi_6, \varphi_{6P}$  - úhly určující polohu jednotlivých vahadel

$\dot{\varphi}_2, \dot{\varphi}_{2P}, \dot{\varphi}_4, \dot{\varphi}_{4P}, \dot{\varphi}_6, \dot{\varphi}_{6P}$  - úhlové rychlosti jednotlivých vahadel

$I_{2P}, I_4, I_{4P}, I_6, I_{6P}$  - hmotné momenty setrvačnosti jednotlivých členů soustavy

$c_2, c_4, c_6$  - torsní tuhosti tyčí mezi členy 2-2P, 4-4P, 6-6P

$k_2, k_4, k_6$  - koeficienty viskosního tlumení soustavy

$M_6$  - moment působící na člen 6P vlivem osnovy

Dosazením výrazů /4.6/ do základní rovnice /4.2/ dostaneme pohybové rovnice:

$$\ddot{\varphi}_{2P} (I_{2P} + I_4 \dot{\varphi}_{24}^2) = - I_4 \dot{\varphi}_{24} \dot{\varphi}_{2P} \dot{\varphi}_{2P}^2 - c_2 (\varphi_{2P} - \varphi_2) + \\ + c_4 \dot{\varphi}_{24} (\varphi_{4P} - \varphi_4) - k_2 (\dot{\varphi}_{2P} - \dot{\varphi}_2) + \\ + k_4 \dot{\varphi}_{24} (\dot{\varphi}_{4P} - \dot{\varphi}_4)$$

$$\ddot{\varphi}_{4P} (I_{4P} + I_6 \dot{\varphi}_{46}^2) = I_6 \dot{\varphi}_{46} \dot{\varphi}_{4P} \dot{\varphi}_{4P}^2 + \\ + c_6 \dot{\varphi}_{46} (\varphi_{6P} - \varphi_6) - c_4 (\varphi_{4P} - \varphi_4) - k_4 (\dot{\varphi}_{4P} - \dot{\varphi}_4) + \\ + k_6 \dot{\varphi}_{46} (\dot{\varphi}_{6P} - \dot{\varphi}_6)$$

$$\ddot{\varphi}_{6P} I_{6P} = - c_6 (\varphi_{6P} - \varphi_6) - k_6 (\dot{\varphi}_{6P} - \dot{\varphi}_6) - M_6$$

Převodové funkce:

$$\varphi_4 = f_{24}(\varphi_{2P})$$

$$\dot{\varphi}_4 = \dot{\varphi}_{24} (\dot{\varphi}_{2P})$$

$$\ddot{\varphi}_4 = \dot{\varphi}_{24} \dot{\varphi}_{2P}^2 + \dot{\varphi}_{24} \ddot{\varphi}_{2P}$$

$$\varphi_6 = f_{46}(\varphi_{4P})$$

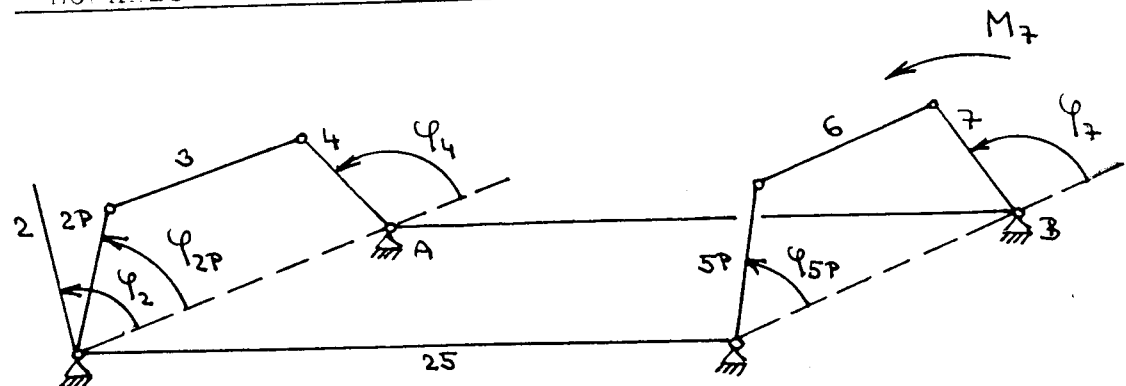
$$\dot{\varphi}_6 = \dot{\varphi}_{46} (\dot{\varphi}_{4P})$$

$$\ddot{\varphi}_6 = \dot{\varphi}_{46} \dot{\varphi}_{4P}^2 + \dot{\varphi}_{46} \ddot{\varphi}_{4P}$$

/4.8/

Převodovými funkcemi je vyjádřena vazba mezi členy 2P-4, 4P-6.

4.3. MATEMATICKÝ MODEL - ČTYŘČLENNÝ PŘÍRAZOVÝ  
MECHANISMUS - OLOUČITRANNÝ NÁJOM



Schema modelu přírazového mechanismu

Obdobným řešením jako u čtyřčlenného mechanismu získáme:

$$\ddot{\varphi}_{2P} (I_{2P} + I_4 \dot{\varphi}_{24}^2) = -I_4 \mu_{24} \dot{\varphi}_{24} \dot{\varphi}_{2P}^2 - c_2 (\dot{\varphi}_{2P} - \dot{\varphi}_2) + c_4 (\dot{\varphi}_{4P} - \dot{\varphi}_4) \mu_{24} - k_2 (\dot{\varphi}_{2P} - \dot{\varphi}_2) + k_4 \mu_{24} (\dot{\varphi}_{4P} - \dot{\varphi}_4)$$

$$\ddot{\varphi}_{5P} (I_{5P} - I_7 \dot{\varphi}_{57}^2) = -I_7 \mu_{57} \dot{\varphi}_{57} \dot{\varphi}_{5P}^2 - c_{2S} (\dot{\varphi}_{5P} - \dot{\varphi}_2) + c_7 (\dot{\varphi}_{4P} - \dot{\varphi}_7) \mu_{57} - k_5 (\dot{\varphi}_{5P} - \dot{\varphi}_2) + k_7 \mu_{57} (\dot{\varphi}_{4P} - \dot{\varphi}_7) \quad /4.9/$$

$$\ddot{\varphi}_{4P} I_{4P} = -c_4 (\dot{\varphi}_{4P} - \dot{\varphi}_4) - c_7 (\dot{\varphi}_{4P} - \dot{\varphi}_7) - M_7 - k_4 (\dot{\varphi}_{4P} - \dot{\varphi}_4) - k_7 (\dot{\varphi}_{4P} - \dot{\varphi}_7)$$

Převodové funkce:

$$\varphi_4 = f_{24}(\varphi_{2P})$$

$$\dot{\varphi}_4 = g_{24}(\dot{\varphi}_{2P})$$

$$\ddot{\varphi}_4 = \nu_{24} \dot{\varphi}_{2P}^2 + g_{24} \ddot{\varphi}_{2P} \quad /4.10/$$

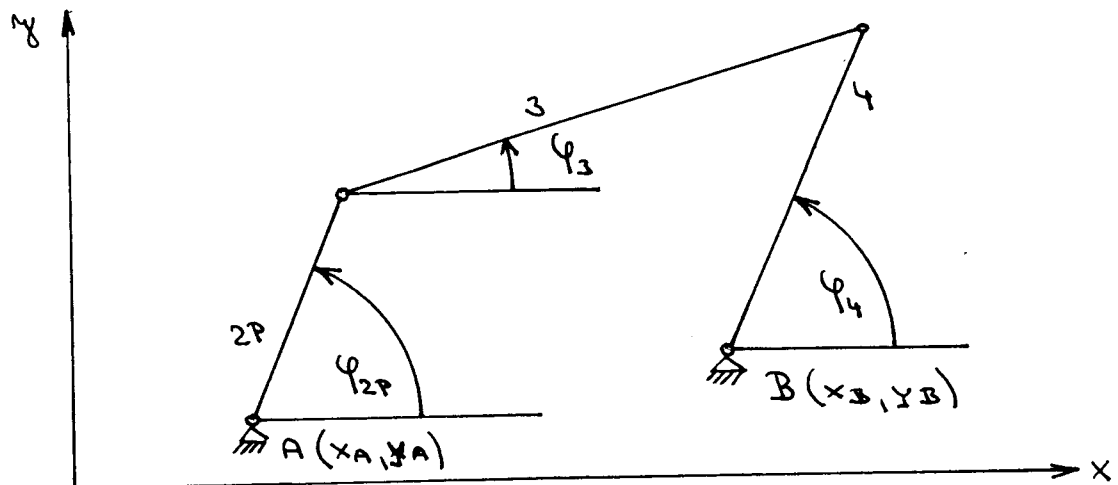
$$\varphi_7 = f_{57}(\varphi_{5P})$$

$$\dot{\varphi}_7 = g_{57}(\dot{\varphi}_{5P})$$

$$\ddot{\varphi}_7 = \nu_{57} \dot{\varphi}_{5P}^2 + g_{57} \ddot{\varphi}_{5P}$$

## 5. URČENÍ PŘEVODOVÝCH FUNKcí

Do pohybových rovnic /4.4/ a /4.7/ je nutné určit převodové funkce dle vztahů /4.5/ a /4.8/.



Kinematické schéma čtyřkloubového mechanismu

Jedná se o převodové funkce čtyřkloubového mechanismu dle kinematického schématu, což ve skutečnosti odpovídá čtyřčlennému přírazovému mechanismu.

Dle schématu lze psát:

$$l_3 \cos \varphi_3 - l_4 \cos \varphi_4 = x_B - x_A - l_{2P} \cos \varphi_{2P} \quad /5.1/$$

$$l_3 \sin \varphi_3 - l_4 \sin \varphi_4 = y_B - y_A - l_{2P} \sin \varphi_{2P}$$

$l_{2P}, l_3, l_4$  - délky jednotlivých členů mechanismu

$x_A, x_B, y_A, y_B$  - souřadnice kloubů A, B na rámu

$\varphi_{2P}, \varphi_3, \varphi_4$  - úhly, které svírají jednotlivé členy s kladeným směrem osy x

Pro úhel  $\varphi_4$  platí:

$$\sin \varphi_4 = \frac{G_1 D_y \pm D_x \sqrt{D^2 - G_1^2}}{D^2} \quad /5.2/$$

$$\cos \varphi_4 = \frac{G_1 D_x \pm D_y \sqrt{D^2 - G_1^2}}{D^2}$$

$$D_x = -(x_B - x_A - l_{23} \cos \varphi_{23})$$

$$D_y = -(y_B - y_A - l_{23} \sin \varphi_{23})$$

$$D^2 = D_x^2 + D_y^2$$

15.3/

$$G_1 = \frac{l_4^2 + D^2 - l_3^2}{2l_4}$$

Pro úhel  $\varphi_3$  platí:

$$\sin \varphi_3 = \frac{G_2 D_y \pm D_x \sqrt{D^2 - G_2^2}}{D^2}$$

$$\cos \varphi_3 = \frac{G_2 D_x \mp D_y \sqrt{D^2 - G_2^2}}{D^2} \quad 15.4/$$

$$G_2 = \frac{l_4^2 - l_3^2 - D^2}{2l_3} \quad 15.5/$$

Hodnotu funkce  $f_{24}$  lze určit ze vztahů 15.2/ a 15.4/. Úhlové rychlosti členů 3 a 4 získáme časovou derivací rovnic 15.1/.

$$-l_3 \dot{\varphi}_3 \sin \varphi_3 + l_4 \dot{\varphi}_4 \sin \varphi_4 = \omega_x \quad 15.6/$$

$$l_3 \dot{\varphi}_3 \cos \varphi_3 - l_4 \dot{\varphi}_4 \cos \varphi_4 = -\omega_y$$

$$\omega_x = l_{23} \dot{\varphi}_{23} \sin \varphi_{23} \quad 15.7/$$

$$\omega_y = l_{23} \dot{\varphi}_{23} \cos \varphi_{23}$$

Dále řešením rovnic 15.6/ dostaneme:

$$\dot{\varphi}_3 = \frac{1}{G_v} (\omega_x l_4 \cos \varphi_4 + \omega_y l_4 \sin \varphi_4)$$

$$\dot{\varphi}_4 = \frac{1}{G_v} (\omega_y l_3 \sin \varphi_3 - \omega_x l_3 \cos \varphi_3) \quad 15.8/$$

$$G_v = l_3 l_4 (\sin \varphi_3 \cos \varphi_4 - \sin \varphi_4 \cos \varphi_3) \quad 15.9/$$

První převodovou funkci  $\varphi_{23}$  určíme přímo ze vztahů 15.8/ pro  $\dot{\varphi}_{23} = 1$ .

Další časovou derivací rovnic /5.6/ a za předpokladu, že  $\dot{\varphi}_{2P} = \text{konst.}$  dostaneme vztahy pro úhlová zrychlení členů 3 a 4.

$$\ddot{\varphi}_3 = \frac{1}{Gv} (A_x l_4 \cos \varphi_4 + A_y l_4 \sin \varphi_4)$$

$$\ddot{\varphi}_4 = \frac{1}{Gv} (A_y l_3 \sin \varphi_3 + A_x l_3 \cos \varphi_3) \quad /5.10/$$

$$A_x = l_{2P} \dot{\varphi}_{2P}^2 \cos \varphi_{2P} - l_3 \dot{\varphi}_3^2 \cos \varphi_3 + l_4 \dot{\varphi}_4^2 \cos \varphi_4$$

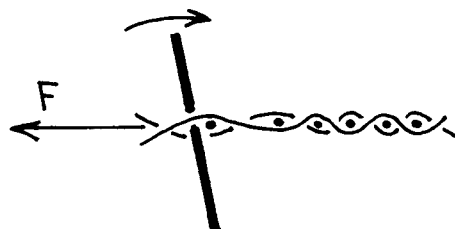
$$A_y = l_{2P} \dot{\varphi}_{2P}^2 \sin \varphi_{2P} - l_3 \dot{\varphi}_3^2 \sin \varphi_3 + l_4 \dot{\varphi}_4^2 \sin \varphi_4 \quad /5.11/$$

Bruhou převodovou funkci  $\dot{\varphi}_{24}$  určíme z rovnice /5.10/ pro  $\dot{\varphi}_{2P} = 1$ .

Vztahy pro převodové funkce čtyřčlenného mechanismu lze po úpravách použít i pro šestičlenný přírazový mechanismus.

## 6. PŮSOBENÍ OSNOVY

Paprsek při svém pohybu do přední krajní polohy narazí na poslední zanesený útek a posouvá jej ve směru osnovy. Přírazná síla  $F$  musí překonat odpor osnovních nití, které se musí rozevřít před vnikajícím útkem a dále odpor třením útku při jeho posunu v osnově viz obr.6a.



obr.6a

Proto bylo zavedeno působení osnovy prostřednictvím momentu  $M_4$ . Moment  $M_4$  je funkcií úhlu  $\varphi_{4P}$ .

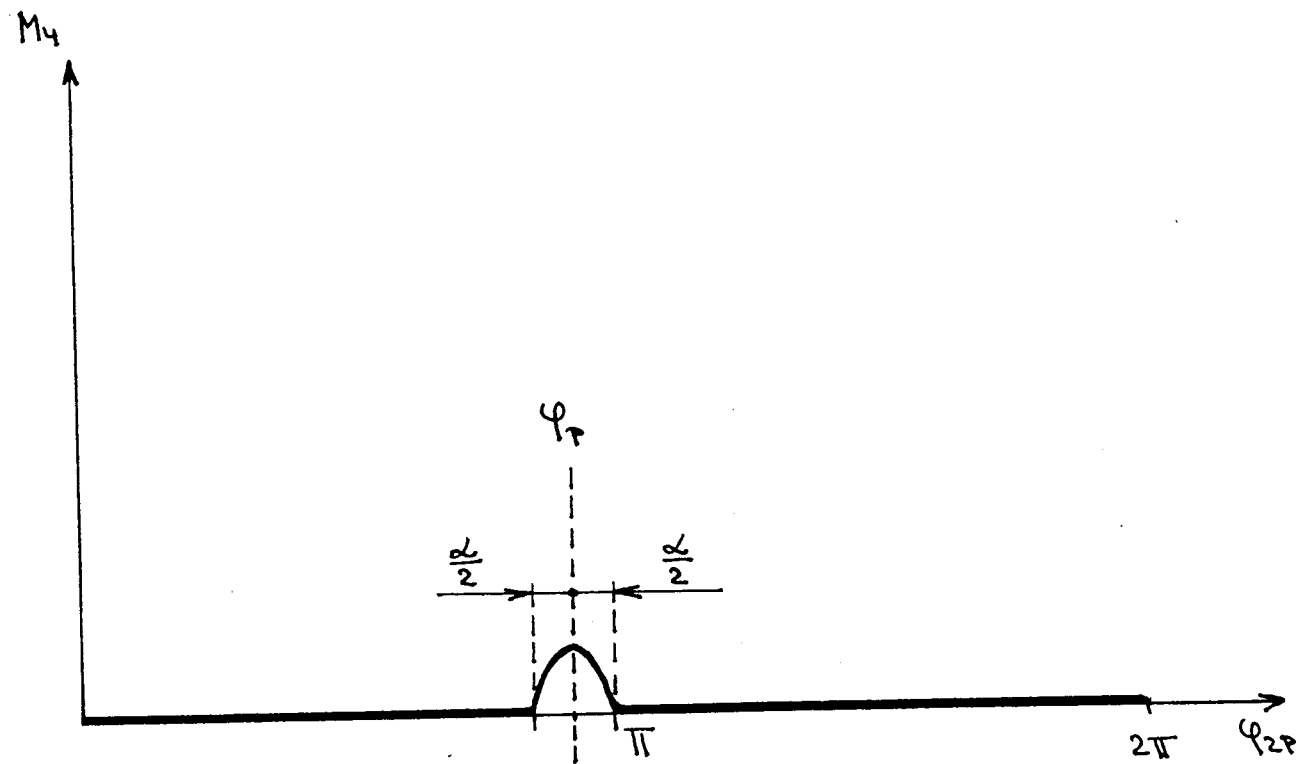
V programu je ale použito zjednodušení a to takové, že moment  $M_4$  je funkcií úhlu  $\varphi_{2P}$ , tj. úhlu natočení kliky, který začne platit tehdy, je-li splněna podmínka /6.2/.

$$M_4 = M_0 \sin [\pi (\varphi_{2P} - \varphi_P + \frac{\alpha}{2}) / \alpha] \quad /6.1/$$

$$\varphi_P - \frac{\alpha}{2} \leq \varphi_{2P} \leq \varphi_P + \frac{\alpha}{2} \quad /6.2/$$

Působící moment  $M_4$  začíná narůstat určitou dobu před přírazem a působí ještě po přírazu viz obr.6b.  
 $\alpha$ -úhel působení momentu  $M_4$ , zvolen úhel  $10^\circ$ .

$\varphi_P$ -úhel přírazu



obr. 6b

## 7.ZAVEDENÍ VÚLF

Na čtyřčlenný i šestičlenný přírazový mechanismus byly zavedeny vůle jak v náhonu, tak i na dalších členech mechanismu.

### 7.1.Čtyřčlenný přírazový mechanismus

Vůle v náhonu mechanismu:

-vztah v rovnicích/4.4// $\varphi_{2P} - \varphi_2$ / je nahrazen takovým vztahem, aby byla splněna jedna z následujících podmínek:

$$|\varphi_{2P} - \varphi_2| < V \quad \varphi_{2P} - \varphi_2 = 0$$

$$\varphi_{2P} - \varphi_2 < -V \quad \varphi_{2P} - \varphi_2 = \varphi_{2P} - \varphi_2 + V \quad /7.1/$$

$$\varphi_{2P} - \varphi_2 > V \quad \varphi_{2P} - \varphi_2 = \varphi_{2P} - \varphi_2 - V$$

Vůle na členu 4:

-vztah v rovnicích/4.4// $\varphi_{4P} - \varphi_4$ / je též nahrazen takovým vztahem, aby byla splněna jedna z následujících podmínek:

$$|\varphi_{4P} - \varphi_4| < Y \quad \varphi_{4P} - \varphi_4 = 0$$

$$\varphi_{4P} - \varphi_4 < -Y \quad \varphi_{4P} - \varphi_4 = \varphi_{4P} - \varphi_4 + Y \quad /7.2/$$

$$\varphi_{4P} - \varphi_4 > Y \quad \varphi_{4P} - \varphi_4 = \varphi_{4P} - \varphi_4 - Y$$

### 7.2.Šestičlenný přírazový mechanismus

Vůle v náhonu i vůle na členu 4 je zavedena stejným způsobem jako u čtyřčlenného přírazového mechanismu.

Vůle na členu 6:

-vztah v rovnicích/4.7// $\varphi_{6P} - \varphi_6$ / je opět nahrazen takovým vztahem, aby byla splněna jedna z podmínek:

$$|\varphi_{6P} - \varphi_6| < U \quad \varphi_{6P} - \varphi_6 = 0$$

/7.3/

$$\varphi_{6P} - \varphi_6 < -U \quad \varphi_{6P} - \varphi_6 = \varphi_{6P} - \varphi_6 + U$$

$$\varphi_{6P} - \varphi_6 > U \quad \varphi_{6P} - \varphi_6 = \varphi_{6P} - \varphi_6 - U$$

### 8. FRUDEH INACÍHO MOMENTU $M_2$

Rovnoměrnost chodu tkacího stroje narušují mechanismy s vratným pohybem, kum také patří mechanismus přírazu. Na vstupu je sledován hnací moment  $M_2$ , jež je dán vztahem:

$$M_2 = c_2 (\varphi_{2P} - \varphi_2) \quad /8.1/$$

Při zavedených vůlích je nutné, aby tento moment také zahrnul tyto vůle:

$$M_2 = c_2 \cdot AK1 \quad /8.2/$$

kde AK1 je získáno z podmínek pro zavedené vůle:

$$|\varphi_{2P} - \varphi_2| < V \quad AK1 = 0$$

$$\varphi_{2P} - \varphi_2 < -V \quad AK1 = \varphi_{2P} - \varphi_2 + V$$

$$\varphi_{2P} - \varphi_2 > V \quad AK1 = \varphi_{2P} - \varphi_2 - V$$

/8.3/

## 9. STANOVENÍ VSTUPNÍCH PARAMETRŮ

Pro vlastní numerické řešení bylo nutné spočítat nebo určit vstupní parametry:

-zvolení základního souřadného systému os /x,y/

U čtyřčlenného i šestičlenného přírazového mechanismu byl zvolen základní souřadný systém tak, že počátek základního souřadného systému je totožný s osou rotace hlavního hřídele.

-určení hmotných momentů setrvačnosti jednotlivých členů mechanismu

Hmotné momenty setrvačnosti jsou určeny s dostatečnou přesností analytickými metodami.

-umístění hmot vzhledem k ose rotace

Torzní tuhosti c můžeme určit dle vztahu:

$$c = \frac{M}{\varphi} \quad /9.1/$$

$c_2$ -tuhosti na členu 2 byly určeny přibližně se zřetělem na náhon.

Hodnoty tlumení jsou určeny z logaritmického dekrementu na základě experimentálně určených hodnot.

$$\ddot{\varphi} + 2N\dot{\varphi} + \Omega^2\varphi = 0$$

$$2N = \frac{k}{I}$$

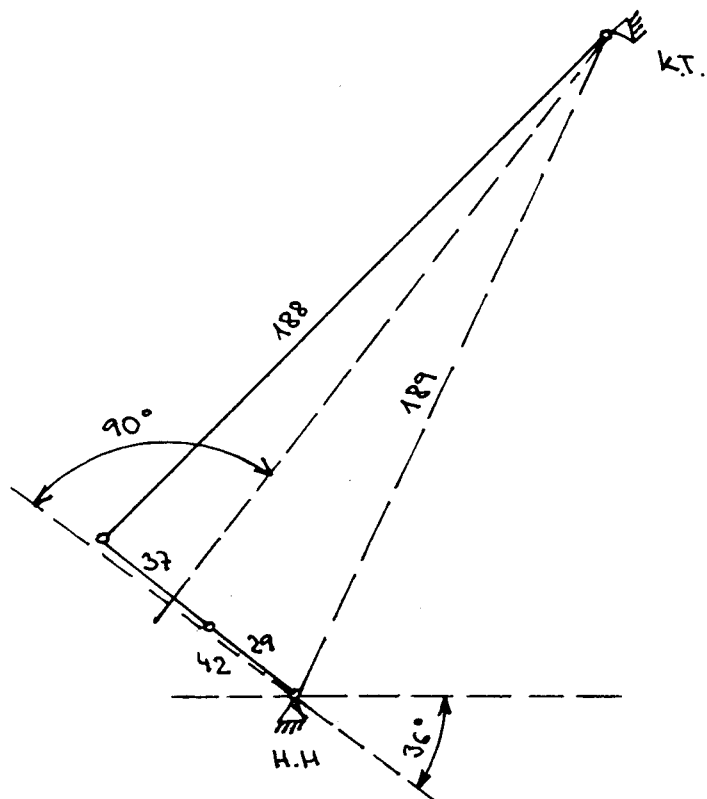
$$\Omega^2 = \frac{c}{I} \quad /9.2/$$

$$T = \frac{2\pi}{\Omega}$$

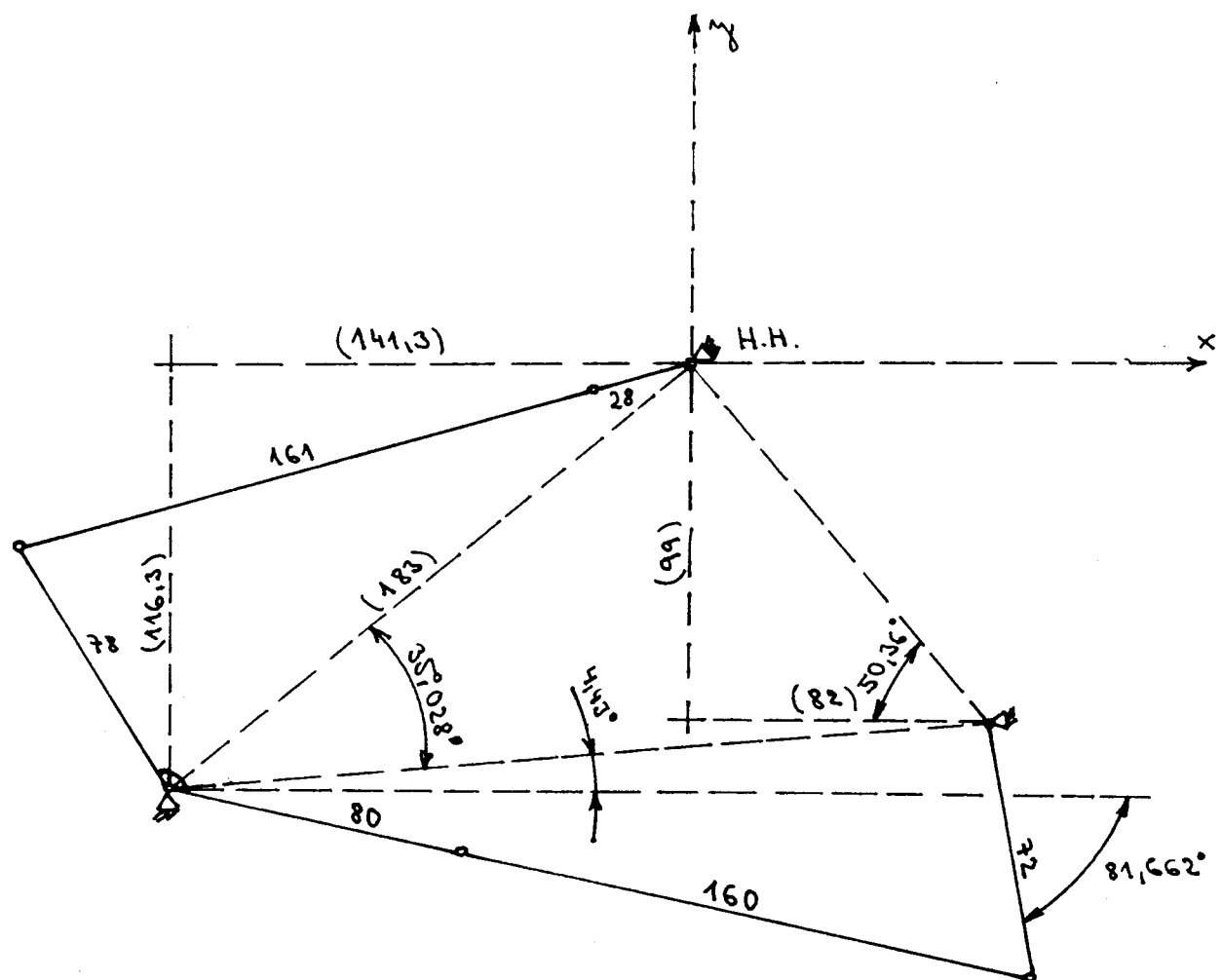
pak určíme koeficient tlumení:

$$k = \frac{I}{\pi} \sqrt{\frac{c}{I}} \ln 2 \quad /9.3/$$

9.1. Geometrické rozměry čtyřčlenného přírazového mechanismu



9.2. Geometrické rozměry šestičlenného přírazového mechanismu



## 10. POPIS SESTAVENÝCH PROGRAMŮ

Matematické modely jednotlivých přírazových mechanismů jsou programově zpracovány na počítači EC 1033 v jazyce FORTRAN 4.

Programy bylo nutno sestavit tak, aby se nejlépe sledovaly průběh daných kinematických veličin.

Jednotlivé programy jsou složeny z hlavního programu a 3 podprogramů:

1/ hlavní program:

-zajišťuje načítání dat, výpočet vlastních kinematických veličin pomocí čtyřbodové Runge-Kuttovy metody pro řešení diferenciálních rovnic druhého řádu a ovládá tisk výsledných hodnot. Program je spuštěn v okamžiku nulového zrychlení, to jest tehdy kdy rychlosť je maximální. Měřítka teoretických a skutečných průběhů kin. veličin jsou shodné.

2/ první podprogram:

-uskutečňuje výpočet převodových funkcí

3/ druhý podprogram:

-zde jsou uloženy diferenciální rovnice

4/ třetí podprogram:

-zajišťuje tisk výsledných hodnot ve formě grafu.

Graficky jsou vyjádřeny výsledné teoretické i skutečné hodnoty kinematických veličin a odchylky jejich průběhů. Dále je tištěn průběh hnacího momentu  $M_2$ .

Výpisy jednotlivých programů jsou uloženy pod pracovními názvy v příloze:

MRM1-čtyřčlenný přírazový mechanismus-oboustranný náhon

MRM8-čtyřčlenný přírazový mechanismus

MRM6-šestičlenný přírazový mechanismus

U šestičlenného přírazového mechanismu byly u každé varianty spočteny dvě otáčky, aby byl odstraněn vliv počátečních podmínek při spuštění výpočtu, kde dochází ke zkreslení průběhu kinematických veličin.

Všechny vstupní hodnoty, jež byly do programů zadávány, byly zadávány jako data a označovány symbolem w/i s proměnným indexem i.

Význam těchto symbolů se snadno zjistí z tabulek variant pro daný mechanismus.

Názvy datových souborů pro jednotlivé mechanismy přírazu:

DAM1-data pro čtyřčlenný přírazový mechanismus - oboustranný náhon

DAM4-data pro čtyřčlenný přírazový mechanismus

DAM6-data pro šestičlenný přírazový mechanismus

Před spuštěním výpočtu je nutné použít příkazu ALLOC.

### 11.1. VYHODNOCENÍ - ČTYŘČLENNÝ PŘÍRAZOVÝ MECHANISMUS

Vypočtené varianty jsou uvedeny v tabulkách, kde jsou také uvedeny minimální a maximální hodnoty úhlu  $\varphi_{\min}$ ,  $\varphi_{\max}$ , rychlosti  $w_{4\min}$ ,  $w_{4\max}$  a zrychlení  $\epsilon_{4\min}$ ,  $\epsilon_{4\max}$  členu 4.

Pro další vyhodnocování se stala důležitým ukazatelem frekvence  $\Omega_1$ . Je to frekvence kmitání skutečných kinematických veličin kolem teoretických frekvencí.

První tři varianty byly spočteny pro dvě otáčky, protože první otáčka je ovlivněna počátečními podmínkami. Ale protože počáteční podmínky se zde tolik neprojevují, tak další varianty jsou spočteny pro jednu otáčku kliky.

Variantu č.1 budeme považovat za základní. V této variantě nejsou zavedeny výle, tuhosti  $c_2, c_4$  jsou zvoleny vysoké. Průběh hnacího momentu  $M_2$  považujeme také za základní, podle něj budeme porovnávat další varianty. V této variantě dochází vlivem přírazu k rozkmitání  $\epsilon_{4sk}$ , které se postupně zatlumuje s určitou frekvencí  $\Omega_1$ , kterou budeme také považovat za základní.

V dalších variantách jsou zavedeny výle V, Y na členy 2 a 4.

Ve variantách č.2-5 se zavedené výle výrazně projeví v oblasti přírazu, kde dostáváme velký ráz. Došlo také ke značnému zvětšení výchylek  $w_{4sk}$  a  $\epsilon_{4sk}$ .

V těchto variantách je též měněna tuhost  $c_2, c_4$ , která má velký vliv na průběh skutečných kinematických veličin. Při podstatném snížení tuhostí vzrostou výchylky  $w_{4sk}$  i  $\epsilon_{4sk}$ . Frekvence  $\Omega_1$  se snižující se tuhostí  $c_2, c_4$  klesá.

Ve variantě č.3 byly sníženy hodnoty tlumení  $k_2, k_4$ . Snížení těchto hodnot se projevilo na vzrůstu výchylek  $w_{4sk}$  a  $\epsilon_{4sk}$ .

Při zavedených výlích se velice změní průběh hnacího momentu  $M_2$ . Dochází zde k rychlému nárůstu  $M_2$  s výchylkou dvakrát větší než je ve variantě č.1.

Ve variantách č.6-8 byly měněny hodnoty hmotného momentu setrvačnosti  $\Gamma_{4\varphi}$ . Růst  $\Gamma_{4\varphi}$  se projevil na průběhu hnacího momentu  $M_2$ , kde jeho výchylky rostou.

Se vzrůstajícím hmotným momentem setrvačnosti klesá frekvence  $\Omega_1$ .

Ve variantě č.9 byla změněna hodnota přírazového momentu  $M_0$ . Zvýšením tohoto momentu se zvětšila výchylka  $\epsilon_{4\varphi}$  i momentu  $M_2$  ve srovnání s variantou č.3, kde je  $M_0=800 \text{ Nm}$ .

Ve variantách č.10-12 byly měněny hodnoty koef. tlumení  $k_2, k_4$ . Velký vliv na průběh hnacího momentu  $M_2$  má hodnota  $k_2$ . Při podstatném zvýšení hodnoty tlumení na členu 2 / $k_2$ /, se výchylky momentu  $M_2$  sníží a to i pod hodnotu uvedenou ve variantě č.1.

Ve variantách č.13 a 15 byly změněny hodnoty rychlosti  $\omega$ . Změnou hodnoty  $\omega$  se změní i vypočtené teoretické hodnoty kinematických veličin, proto nelze přímo srovnávat tyto dvě varianty s ostatními variantami. Také frekvence  $\Omega_1$  se nemůže porovnat s frekvencí v druhých variantách.

Vlivem vyšší úhlové rychlosti  $\omega$  na členu 2 se podstatně zvýší výchylky zrychlení. Ve variantě č.15 při úhlové rychlosti  $\omega = 70 \text{ rad s}^{-1}$  je výchylka  $\epsilon_{4\varphi}$  dvakrát větší než ve variantě č.13, kde je úhlová rychlosť  $\omega = 40 \text{ rad s}^{-1}$ . Je tedy zřejmé, že se vzrůstající úhlovou rychlostí je mechanismus více namáhan.

Ve variantě č.14 byly modelovány výle  $V=0,02 \text{ rad}$  a  $Y=0,02 \text{ rad}$ . Tyto velké výle způsobily pokles frek.  $\Omega_1$

a zvětšení výchylek kinematických veličin ve srovnání s variantou č.3. Došlo také ke zvětšení výchylek hnacího momentu  $M_2$ . Ve srovnání s variantou č.1 se tento moment zvětšil dvakrát.

Ve variantě č.16 je zavedena vůle  $V=0,02$  rad a  $Y=0,01$  rad. Hnací moment  $M_2$  dosahuje vysokých hodnot výchylek obdobně jako u varianty č.14. Došlo zde ale ke snížení výchylek  $\xi_{4sk}$ .

## 11.2. VYHODNOCENÍ - ŠESTIČLENNÝ PŘÍRAZOVÝ MECHANISMUS

Všechny varianty jsou spočítány pro dvě otáčky.  
Vypočtené varianty jsou uvedeny v příslušných tabulkách.

Za základní variantu budeme považovat variantu č.1, kde byly na jednotlivých členech mechanismu 2,4,6 modelovány vůle V,Y,U velice malé. Jsou zde také zavedeny vysoké hodnoty tuhostí  $c_2, c_4, c_6$ .

Tato varianta nám bude sloužit pro porovnání s dalšími variantami, kde jsou zavedeny vůle o mnoho větší. Pro další vyhodnocování se stává důležitým ukazatelem frekvence  $\Omega_1$ .

V této variantě dojde vlivem přírazu k rozkmitání skutečných hodnot kinematických veličin kolem teoretických a jejich postupnému zatlumování.

Za základní budeme také považovat průběh hnacího momentu  $M_2$ .

Ve variantách č.2-6 jsou měněny tuhosti  $c_2, c_4, c_6$ . Ve variantě č.2-3 je zavedena vysoká tuhost  $c_2, c_4, c_6$  i vyšší tlumení  $k_2, k_4, k_6$ , potom se rázy rychleji zatlumují. Při snížení tuhostí na členu 2 a 6 a výrazném snížení tuhosti  $c_4$  na členu 4 ve variantě č.6 dochází k velkému rozkmitání.

Zavedené vůle mají velký vliv na průběh hnacího momentu  $M_2$ . Průběh  $M_2$  není tak plynulý jako ve variantě č.1, jsou zde náhlé velké výchylky. Se zmenšující se tuhostí roste výchylka hnacího momentu  $M_2$ .

S růstem  $c_2, c_4$  ale hlavně  $c_6$  roste i frekvence  $\Omega_1$ . Zavedené vůle se hlavně projevují na méně hmotném členu 4, na člen 6 se již přenášejí rázy značně menší.

Ve variantách č.7-8 byl měněn hmotný moment setrvačnosti  $I_{cp}$ . S rostoucím  $I_{cp}$  rostou výchylky hnacího momentu  $M_2$  a klesá hodnota frekvence  $\Omega_1$ .

Ve variantách č.9-11 byla měněna velikost přírazového momentu  $M_0$ . Zrychlení na členu 6 nezaznamenalo velkých změn. Se vzrůstajícím momentem  $M_0$  klesá  $\varepsilon_{4sk}$ , ale roste  $\varepsilon_{6sk}$ . Hodnoty hnacího momentu se měnily velice nepatrně.

Varianty č.12-15 řeší vliv vůli zaváděných na jednotlivé členy zvlášt a jejich kombinace.

Ve variantě č.13 zavedením velké vůle jen na člen 4 se vlivem přírazu velice rozkmitá  $\varepsilon_{4sk}$ , ale  $\varepsilon_{6sk}$  sleduje dosti věrně  $\varepsilon_{ct}$ . Při zavedených vůlích jen na člen 4 ve variantě č.13 a na člen 6 ve variantě č.14 klesají výchylky hnacího momentu  $M_2$ .

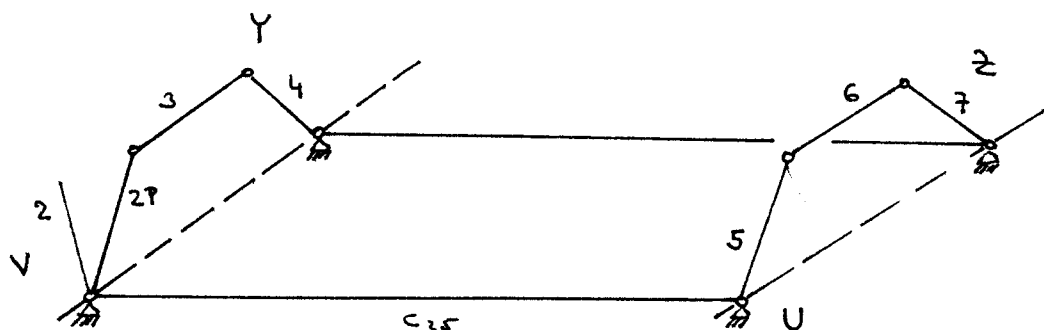
Ve variantě č.15 je zavedena vůle  $V, Y, U = 0,02$  rad. Podstatně se snížila frekvence  $\Omega$ . Výchylky hnacího momentu  $M_2$  dosáhly vysokých hodnot ve srovnání se zákl. variantou. Zvýšily se výchylky  $\varepsilon_{4sk}, \varepsilon_{6sk}$  a to až o  $\frac{1}{2}$  ve srovnání s variantou č.5.

Ve variantě č.16 jsou zavedeny vysoké hodnoty tlumení a je zde změněn  $T_{4r}$ . Moment  $M_2$  se snížil ve srovnání s variantou č.5.

Ve variantě č.17 se vlivem snížení konstant tlumení zvětšily výchylky momentu  $M_2$  na téměř stejnou hodnotu jako ve variantě č.5. Hmotný moment setrvačnosti nemá velký vliv na průběh kinematických veličin.

### 11.3. VYHODNOCENÍ-ČTYŘCLENNÝ PRÍRAZOVÝ MECHANISMUS- -OBOUSTRANNÝ NÁHÓN

Pro sledování kinematických veličin u 4.čl.mechanismu s oboustranným náhonem byl sestaven matematický model, kde byly také na jednotlivé členy zavedeny vůle  $V, Y, U, Z$ .



Vypočtené varianty jsou uvedeny v tabulce, kde jsou uvedeny minimální a maximální hodnoty sledovaných kin. veličin a hnacího momentu  $M_2$ .

Pro vyhodnocení je důležitým ukazatelem frekvence  $\omega_1$ .

Ve variantách č.1-2 nejsou na jednotlivé členy zavedeny vůle. Tyto varianty budeme považovat za základní z hlediska porovnání průběhů kinematických veličin s dalšími variantami.

Za základní budeme považovat také frekvenci  $\omega_1$ . Velmi dobře patrný je průběh  $\varepsilon_{ssk}$ , kde  $\varepsilon_{ssk}$  kmitá kolem nulové osy a postupně se zatlumuje.

V těchto variantách byl měněn hmotný moment setrvačnosti  $I_{4P}$  a  $I_7$ . Hodnoty výchylek  $\varepsilon_{4sk}$  a  $\varepsilon_{ssk}$  vzrostly se snižujícím se hmotným momentem setrvačnosti  $I_{4P}$  a  $I_7$ .

Ve variantách č.3-5 byly na členy mechanismu zavedeny vůle  $V, Y, U, Z$ .

Tyto vůle se projevují ve výrazném rozkmitání zrychlení na členu  $5\varepsilon_{ssk}$ , které se zvětšilo ve srovnání s variantou č.1 téměř třikrát.

Výchylky zrychlení na členu  $4\epsilon_{45k}$  nedosáhly podstatného vzrůstu. Ve variantě č.4 byla zaznamenána nejnižší frekvence  $\omega_1$ . Toto bylo způsobeno vysokým hmotovým momentem setrvačnosti  $I_{41}, I_7$ .

ve variantě č.5 byla zvýšena tuhost  $c_{25}$  a současně s ní snížen hmotový moment setrvačnosti  $I_{41}$  a  $I_7$ . Tato změna vstupních parametrů způsobila zvýšení výchylek zrychlení  $\epsilon_{41k}$  a  $\epsilon_{55k}$ .

Maximálních výchylek hnacího momentu  $M_2$  bylo dosaženo ve variantě č.3.

V předešlých pracích, které se zabývaly 4.čl. a 6.čl. mechanismy byly sledovány průběhy kinematických veličin bez zavedených vůlí. Tyto práce objasnily chování 4.čl. a 6.čl. mechanismů v závislosti na jednotlivých parametrech, jako je např. tuhost a hmotný moment setrvačnosti.

Cílem mé diplomové práce bylo to, aby se rozšířila oblast sledování chování 4.čl. a 6.čl. přírazového mechanismu. Tohoto se docílilo hlavně zavedením vůlí na jednotlivé členy mechanismu. Tyto modelované vůle ve skutečnosti představují výrobní a montážní nepřesnosti, ale také nepřesnosti jež se objevují po delší době provozu mechanismu. Zavedenými vůlemi se tedy přibližujeme skutečnému chování mechanismů.

V práci je také sledován průběh hnacího momentu  $M_2$ , který velice závisí na modelovaných vůlích a na dalších parametrech, např. na tuhosti a konst. tlumení.

Na celkové chování přírazového mechanismu má velký vliv příraz, kde dochází k velkému rázu čímž se zvětší výchylky  $\omega$ ,  $\epsilon$ . Při zavedených vůlích se průběhy  $\omega$ ,  $\epsilon$  velice liší od teoretických hodnot  $\omega_T$ ,  $\epsilon_T$ . Největší výkmity jsou pozorovatelné na průběhu  $\epsilon$ , kde hodnoty  $\epsilon_{sk}$  vysoko převyšují teoretické hodnoty  $\epsilon_T$ .

Na chování 4.čl i 6.čl. přírazového mechanismu, při zavedených vůlích má velký vliv hodnota tuhosti. Při rostoucí tuhosti jednotlivých členů u obou mechanismů dochází k rychlejšímu zatlumení amplitud výchylek  $\epsilon_{sk}$ .

U 6.čl. mechanismu se rázy hlavně projevují na členu 4, jež má menší hmotnost. Na člen 6 tyto rázy přechází značně zmenšené. Z tohoto vyplývá, že pohyb členu 6 je plynulejší, bez výrazného kmitání.

Vysoké tuhosti a nižší hodnoty hmotných momentů setrvačnosti posouvají přídavná chvění k vyšším frekvencím  $\Omega$ . Tím se také sníží amplitudy výchylek, což má za následek rychlejší zatlumení kmitů, které pak nejsou tak nebezpečné pro chod mechanismů.

Vlivem zavedených vůlí dochází u 4.čl. i 6.čl. mechanismu k velké deformaci průběhu hnacího momentu  $M_2$ . Jedná se zde hlavně o velké rázy v průběhu hnacího momentu při protínání nulové osy. Vlivem vyšších hodnot tlumení se výchylky momentu  $M_2$  zmenšují.

Dále byl programově zpracován matematický model čtyřčlenného přírazového mechanismu s oboustranným néhonem. Také byly vypočteny některé varianty, které podávají základní pohled na chování tohoto mechanismu bez zavedených vůlí i s vůlemi.

V diplomové práci bylo zpracováno množství různých změn v jednotlivých variantách. Tímto tato práce dělá základ pro zkoumání dynamických vlastností přírazových mechanismů tkacích strojů.

TABUĽKA VARIANT - Ľ ČL. MECHANISMUS

ČASŤ 1

JEDNOTKY	1	2	3	4	5	6	7	8	9
$w_1 = c_2$	Nm	200 000	100 000	20 000	100 000	43 000	43 000	43 000	43 000
$w_2 = c_4$	Nm	20 000	43 000	25 000	43 000	20 000	20 000	20 000	20 000
$w_3 = k_2$	Nm <sup>-2</sup>	13	13	13	13	13	13	13	13
$w_4 = k_4$	Nm <sup>-2</sup>	28	28	28	28	28	28	28	28
$w_5 = T_{24}$	Nm <sup>-2</sup>	0,0043	0,025	0,025	0,025	0,025	0,025	0,025	0,025
$w_6 = T_{48}$	Nm <sup>-2</sup>	800	800	800	800	800	800	800	800
$w_7 = \varphi_1$	rad	0,1246	0,1246	0,1246	0,1246	0,1246	0,1246	0,1246	0,1246
$w_8 = \varphi_2$	rad	0,189	0,189	0,189	0,189	0,189	0,189	0,189	0,189
$w_9 = \varphi_3$	rad	0,029	0,029	0,029	0,029	0,029	0,029	0,029	0,029
$w_{10} = \varphi_4$	rad	60	60	60	60	60	60	60	60
$w_{11} = \varphi_5$	rad	~	~	~	~	~	~	~	~
$w_{12} = \varphi_6$	rad	~	~	~	~	~	~	~	~
$w_{13} = \varphi_7$	rad	~	~	~	~	~	~	~	~
$w_{14} = \varphi_8$	rad	~	~	~	~	~	~	~	~
$w_{15} = \varphi_9$	rad	~	~	~	~	~	~	~	~
$w_{16} = \varphi_{10}$	rad	~	~	~	~	~	~	~	~
$w_{17} = \varphi_{11}$	rad	~	~	~	~	~	~	~	~
$w_{18} = \gamma$	rad	~	~	~	~	~	~	~	~
$w_{19} = \varphi_{12}$	rad	~	~	~	~	~	~	~	~
$w_{20} = \varphi_{13}$	rad	~	~	~	~	~	~	~	~
$w_{21} = \varphi_{14}$	rad	~	~	~	~	~	~	~	~
$w_{22} = \varphi_{15}$	rad	~	~	~	~	~	~	~	~
$w_{23} = \varphi_{16}$	rad	~	~	~	~	~	~	~	~
$w_{24} = \varphi_{17}$	rad	~	~	~	~	~	~	~	~
$w_{25} = \varphi_{18}$	rad	~	~	~	~	~	~	~	~
$w_{26} = \varphi_{19}$	rad	~	~	~	~	~	~	~	~
$w_{27} = \varphi_{20}$	rad	~	~	~	~	~	~	~	~
$w_{28} = \varphi_{21}$	rad	~	~	~	~	~	~	~	~
$w_{29} = \varphi_{22}$	rad	~	~	~	~	~	~	~	~
$w_{30} = \varphi_{23}$	rad	~	~	~	~	~	~	~	~
$w_{31} = \varphi_{24}$	rad	~	~	~	~	~	~	~	~
$w_{32} = \varphi_{25}$	rad	~	~	~	~	~	~	~	~
$w_{33} = \varphi_{26}$	rad	~	~	~	~	~	~	~	~
$w_{34} = \varphi_{27}$	rad	~	~	~	~	~	~	~	~
$w_{35} = \varphi_{28}$	rad	~	~	~	~	~	~	~	~
$w_{36} = \varphi_{29}$	rad	~	~	~	~	~	~	~	~
$w_{37} = \varphi_{30}$	rad	~	~	~	~	~	~	~	~
$w_{38} = \varphi_{31}$	rad	~	~	~	~	~	~	~	~
$w_{39} = \varphi_{32}$	rad	~	~	~	~	~	~	~	~
$w_{40} = \varphi_{33}$	rad	~	~	~	~	~	~	~	~
$w_{41} = \varphi_{34}$	rad	~	~	~	~	~	~	~	~
$w_{42} = \varphi_{35}$	rad	~	~	~	~	~	~	~	~
$w_{43} = \varphi_{36}$	rad	~	~	~	~	~	~	~	~
$w_{44} = \varphi_{37}$	rad	~	~	~	~	~	~	~	~
$w_{45} = \varphi_{38}$	rad	~	~	~	~	~	~	~	~
$w_{46} = \varphi_{39}$	rad	~	~	~	~	~	~	~	~
$w_{47} = \varphi_{40}$	rad	~	~	~	~	~	~	~	~
$w_{48} = \varphi_{41}$	rad	~	~	~	~	~	~	~	~
$w_{49} = \varphi_{42}$	rad	~	~	~	~	~	~	~	~
$w_{50} = \varphi_{43}$	rad	~	~	~	~	~	~	~	~
$w_{51} = \varphi_{44}$	rad	~	~	~	~	~	~	~	~
$w_{52} = \varphi_{45}$	rad	~	~	~	~	~	~	~	~
$w_{53} = \varphi_{46}$	rad	~	~	~	~	~	~	~	~
$w_{54} = \varphi_{47}$	rad	~	~	~	~	~	~	~	~
$w_{55} = \varphi_{48}$	rad	~	~	~	~	~	~	~	~
$w_{56} = \varphi_{49}$	rad	~	~	~	~	~	~	~	~
$w_{57} = \varphi_{50}$	rad	~	~	~	~	~	~	~	~
$w_{58} = \varphi_{51}$	rad	~	~	~	~	~	~	~	~
$w_{59} = \varphi_{52}$	rad	~	~	~	~	~	~	~	~
$w_{60} = \varphi_{53}$	rad	~	~	~	~	~	~	~	~
$w_{61} = \varphi_{54}$	rad	~	~	~	~	~	~	~	~
$w_{62} = \varphi_{55}$	rad	~	~	~	~	~	~	~	~
$w_{63} = \varphi_{56}$	rad	~	~	~	~	~	~	~	~
$w_{64} = \varphi_{57}$	rad	~	~	~	~	~	~	~	~
$w_{65} = \varphi_{58}$	rad	~	~	~	~	~	~	~	~
$w_{66} = \varphi_{59}$	rad	~	~	~	~	~	~	~	~
$w_{67} = \varphi_{60}$	rad	~	~	~	~	~	~	~	~
$w_{68} = \varphi_{61}$	rad	~	~	~	~	~	~	~	~
$w_{69} = \varphi_{62}$	rad	~	~	~	~	~	~	~	~
$w_{70} = \varphi_{63}$	rad	~	~	~	~	~	~	~	~
$w_{71} = \varphi_{64}$	rad	~	~	~	~	~	~	~	~
$w_{72} = \varphi_{65}$	rad	~	~	~	~	~	~	~	~
$w_{73} = \varphi_{66}$	rad	~	~	~	~	~	~	~	~
$w_{74} = \varphi_{67}$	rad	~	~	~	~	~	~	~	~
$w_{75} = \varphi_{68}$	rad	~	~	~	~	~	~	~	~
$w_{76} = \varphi_{69}$	rad	~	~	~	~	~	~	~	~
$w_{77} = \varphi_{70}$	rad	~	~	~	~	~	~	~	~
$w_{78} = \varphi_{71}$	rad	~	~	~	~	~	~	~	~
$w_{79} = \varphi_{72}$	rad	~	~	~	~	~	~	~	~
$w_{80} = \varphi_{73}$	rad	~	~	~	~	~	~	~	~
$w_{81} = \varphi_{74}$	rad	~	~	~	~	~	~	~	~
$w_{82} = \varphi_{75}$	rad	~	~	~	~	~	~	~	~
$w_{83} = \varphi_{76}$	rad	~	~	~	~	~	~	~	~
$w_{84} = \varphi_{77}$	rad	~	~	~	~	~	~	~	~
$w_{85} = \varphi_{78}$	rad	~	~	~	~	~	~	~	~
$w_{86} = \varphi_{79}$	rad	~	~	~	~	~	~	~	~
$w_{87} = \varphi_{80}$	rad	~	~	~	~	~	~	~	~
$w_{88} = \varphi_{81}$	rad	~	~	~	~	~	~	~	~
$w_{89} = \varphi_{82}$	rad	~	~	~	~	~	~	~	~
$w_{90} = \varphi_{83}$	rad	~	~	~	~	~	~	~	~
$w_{91} = \varphi_{84}$	rad	~	~	~	~	~	~	~	~
$w_{92} = \varphi_{85}$	rad	~	~	~	~	~	~	~	~
$w_{93} = \varphi_{86}$	rad	~	~	~	~	~	~	~	~
$w_{94} = \varphi_{87}$	rad	~	~	~	~	~	~	~	~
$w_{95} = \varphi_{88}$	rad	~	~	~	~	~	~	~	~
$w_{96} = \varphi_{89}$	rad	~	~	~	~	~	~	~	~
$w_{97} = \varphi_{90}$	rad	~	~	~	~	~	~	~	~
$w_{98} = \varphi_{91}$	rad	~	~	~	~	~	~	~	~
$w_{99} = \varphi_{92}$	rad	~	~	~	~	~	~	~	~
$w_{100} = \varphi_{93}$	rad	~	~	~	~	~	~	~	~
$w_{101} = \varphi_{94}$	rad	~	~	~	~	~	~	~	~
$w_{102} = \varphi_{95}$	rad	~	~	~	~	~	~	~	~
$w_{103} = \varphi_{96}$	rad	~	~	~	~	~	~	~	~
$w_{104} = \varphi_{97}$	rad	~	~	~	~	~	~	~	~
$w_{105} = \varphi_{98}$	rad	~	~	~	~	~	~	~	~
$w_{106} = \varphi_{99}$	rad	~	~	~	~	~	~	~	~
$w_{107} = \varphi_{100}$	rad	~	~	~	~	~	~	~	~
$w_{108} = \varphi_{101}$	rad	~	~	~	~	~	~	~	~
$w_{109} = \varphi_{102}$	rad	~	~	~	~	~	~	~	~
$w_{110} = \varphi_{103}$	rad	~	~	~	~	~	~	~	~
$w_{111} = \varphi_{104}$	rad	~	~	~	~	~	~	~	~
$w_{112} = \varphi_{105}$	rad	~	~	~	~	~	~	~	~
$w_{113} = \varphi_{106}$	rad	~	~	~	~	~	~	~	~
$w_{114} = \varphi_{107}$	rad	~	~	~	~	~	~	~	~
$w_{115} = \varphi_{108}$	rad	~	~	~	~	~	~	~	~
$w_{116} = \varphi_{109}$	rad	~	~	~	~	~	~	~	~
$w_{117} = \varphi_{110}$	rad	~	~	~	~	~	~	~	~
$w_{118} = \varphi_{111}$	rad	~	~	~	~	~	~	~	~
$w_{119} = \varphi_{112}$	rad	~	~	~	~	~	~	~	~
$w_{120} = \varphi_{113}$	rad	~	~	~	~	~	~	~	~
$w_{121} = \varphi_{114}$	rad	~	~	~	~	~	~	~	~
$w_{122} = \varphi_{115}$	rad	~	~	~	~	~	~	~	~
$w_{123} = \varphi_{116}$	rad	~	~	~	~	~	~	~	~
$w_{124} = \varphi_{117}$	rad	~	~	~	~	~	~	~	~
$w_{125} = \varphi_{118}$	rad	~	~	~	~	~	~	~	~
$w_{126} = \varphi_{119}$	rad	~	~	~	~	~	~	~	~
$w_{127} = \varphi_{120}$	rad	~	~	~	~	~	~	~	~
$w_{128} = \varphi_{121}$	rad	~	~	~	~	~	~	~	~
$w_{129} = \varphi_{122}$	rad	~	~	~	~	~	~	~	~
$w_{130} = \varphi_{123}$	rad	~	~	~	~	~	~	~	~
$w_{131} = \varphi_{124}$	rad	~	~	~	~	~	~	~	~
$w_{132} = \varphi_{125}$	rad	~	~	~	~	~	~	~	~
$w_{133} = \varphi_{126}$	rad	~	~	~	~	~	~	~	~
$w_{134} = \varphi_{127}$ </									

2  
55  
10

1	10	11	12	13	14	15	16	17	18	19	20
2											
3	30	5	30	5							
4	100	100	28	28							
5											
6											
7											
8	800										
9											
10											
11											
12											
13											
14											
15											
16											
17											
18											
19	25125	26104	50	3125	0,01	0,02	0,01	0,02	0,01	0,01	0,01
20	272681	232682	212632	212766	21748	27541	27541	27541	27541	27541	27541
21	31098	31015	31087	31263	31263	31109	31109	31109	31109	31109	31109
22	-1434	-1471	-14329	-996355	-17268	-18565	-18565	-18565	-18565	-18565	-18565
23	12211	121988	121601	101104	121484	16063	16063	16063	16063	16063	16063
24	-852,8	-996,09	-1842,9	90652	-1981,3	-2607	-2607	-2607	-2607	-2607	-2607
25	3097,3	3062,8	3226,1	19787	4663,8	4494,5	3930,2	3930,2	3930,2	3930,2	3930,2
26	0	-129,55	0	-106,86	-911,9	-159,19	-159,19	-159,19	-159,19	-159,19	-159,19
27	481851	155,85	53,333	45,65	118,06	123,52	173,44	173,44	173,44	173,44	173,44

TABULKA VARIANT - 6 ČL. MECHANISMUS

ČAST 1

	JEDNOT.	1	2	3	4	5	6
w <sub>1</sub> = c <sub>2</sub>	Nm	160 000	200 000	160 000	130 000	100 000	60 000
w <sub>2</sub> = c <sub>4</sub>	Nm	880 000	900 000	880 000	810 000	775 000	50 000
w <sub>3</sub> = c <sub>6</sub>	Nm	70 000	85 000	70 000	55 000	43 000	43 000
w <sub>4</sub> = k <sub>2</sub>	Nm <sup>2</sup> /s	16	28		12		
w <sub>5</sub> = k <sub>4</sub>	Nm <sup>2</sup> /s	28	38		26		
w <sub>6</sub> = k <sub>6</sub>	Nm <sup>2</sup> /s	36	50		28		
w <sub>7</sub> = I <sub>2P</sub>	Nm <sup>2</sup>	0,0264					
w <sub>8</sub> = I <sub>4P</sub>	Nm <sup>2</sup>	0,0213					
w <sub>9</sub> = I <sub>4P</sub>	Nm <sup>2</sup>	0,016					
w <sub>10</sub> = I <sub>6P</sub>	Nm <sup>2</sup>	0,024					
w <sub>11</sub> = I <sub>6P</sub>	Nm <sup>2</sup>	0,35					
w <sub>12</sub> = M <sub>0</sub>	Nm	800					
w <sub>13</sub> = w	rad/s <sup>2</sup>	60					
w <sub>14</sub> = d	rad	0,1745					
w <sub>15</sub> = l <sub>2P</sub>	~	0,028					
w <sub>16</sub> = x <sub>A</sub>	~	0					
w <sub>17</sub> = y <sub>A</sub>	~	0					
w <sub>18</sub> = l <sub>3</sub>	~	0,161					
w <sub>19</sub> = l <sub>4</sub>	~	0,078					
w <sub>20</sub> = l <sub>4P</sub>	~	0,08					
w <sub>21</sub> = x <sub>B</sub>	~	0,183					
w <sub>22</sub> = y <sub>B</sub>	~	0					
w <sub>23</sub> = l <sub>5</sub>	~	0,16					
w <sub>24</sub> = l <sub>6</sub>	~	0,072					
w <sub>25</sub> = d <sub>4</sub>	rad						
w <sub>26</sub> = x <sub>C</sub>	~	0,407					
w <sub>27</sub> = y <sub>C</sub>	~	0					
w <sub>28</sub> = β <sub>1</sub>	rad	POČÍTA SE					
w <sub>29</sub> = β <sub>2</sub>	rad	POČÍTA SE					
w <sub>30</sub> = V	rad	0,3 · 10 <sup>-4</sup>	0,01				
w <sub>31</sub> = Y	rad	0,3 · 10 <sup>-4</sup>	0,01				
w <sub>32</sub> = U	rad	0,3 · 10 <sup>-4</sup>	0,01				
J <sub>01</sub>	Hz	66,66	66,66	64,51	62,5	55,55	23,81
w <sub>4</sub> min	1,501 *	1,501	1,496	1,495	1,486	1,484	1,484
w <sub>4</sub> max	1,930	1,938	1,950	1,950	1,959	1,961	1,966
w <sub>6</sub> min	-21,792	-21,854	-22,4	-22,467	-23,112	-22,729	-22,792
w <sub>6</sub> max	22,054	22,062	22,472	22,325	22,76	22,958	23,369
w <sub>6</sub> min	-14,621	-16,195	-16,081	-15,663	-16,582	-18,167	-21,647
w <sub>6</sub> max	15,795	16,283	16,187	16,438	16,281	16,098	16,487
E <sub>4</sub> min	-1248,6	-4705,6	-17983	-19 057	-16,184	-26 879	-5033,1
E <sub>4</sub> max	1591,6	3498,4	40 751	40 310	35 774	38 028	6 834,4
E <sub>6</sub> min	1294,6	-3311	-3187,1	-2940,7	-2927,6	-2 814	2 702,8
E <sub>6</sub> max	803,5	1250,4	1652,4	1459	1674,1	1803,7	1681,5
M <sub>2</sub> min		-152,06	-371,98	-361,36	-533	-521,59	-421,73
M <sub>2</sub> max		205,47	327,73	320,93	352,6	242,16	356,04

\* Teoretické  
hodnoty

<sup>1</sup>  
CAST 2

	7	8	9	10	11	12	13	14
1	100 000							
2	775 000							
3	43 000							
4								
5								
6								
7		.						
8								
9								
10								
11	0,33	0,38	0,35					
12		0		1000	1200	800		
13								
14								
15								
16								
17								
18								
19								
20								
21								
22								
23								
24								
25								
26								
27								
28								
29								
30					0,01	0,3 · 10 <sup>-4</sup>		
31						0,3 · 10 <sup>-4</sup>	0,01	0,3 · 10 <sup>-4</sup>
32						0,13 · 10 <sup>-4</sup>		0,01
	57,14	55,55	58,82	57,14	60,6	60,6	50	57,14
	1,485	1,483	1,484	1,484	1,484	1,502	1,501	1,484
	1,958	1,963	1,971	1,959	1,956	1,947	1,958	1,956
	-22,705	-22,727	-22,921	-22,982	-22,602	-22,746	-21,836	-21,839
	22,828	23,264	22,906	22,960	23,005	22,415	22,059	22,166
	-17,631	-18,79	-18,233	-18,344	-18,578	-16,955	-18,989	-18,648
	15,668	17,354	16,076	16,135	16,189	16,796	16,536	15,866
	-23,878	-17,216	-28,114	-26,631	-26,409	-4,988,9	-25,318	-44,48,6
	41,787	33,968	38,188	37,865	37,502	50,96,2	19,026	42,76,3
	-2809,4	-2812,8	-3360,7	3317,3	-3819,1	-3,996,2	-4,153,3	-4046,4
	1696,4	1955,8	1793,8	1812,2	1823,1	1084,3	956,1	1666,3
	-485,25	-546,1	-829,6	-529,2	-529,12	-370,24	-76,82	-98,57
	237,58	282,02	270,58	242,16	250,17	253,99	240,09	182,78

## CAST 3

	15	16	17	18	19	20	21	22
1								
2								
3								
4		50	12					
5		70	26					
6		90	28					
7								
8								
9		0,02	0,02					
10								
11								
12								
13								
14								
15								
16								
17								
18								
19								
20								
21								
22								
23								
24								
25								
26								
27								
28								
29								
30	0,02	0,01						
31	0,02	0,01						
32	0,02	0,01						
	39,21	55,55	54,05					
	1,475	1,507	1,4842					
	1,955	1,9359	1,9612					
	-24,355	-22,011	-22,735					
	23,376	22,02	22,92					
	-22,391	-16,92	-18,139					
	16,778	16,122	16,116					
	-25305	-11678	-25333					
	50635	2270,8	37357					
	-3374,6	-3834,3	-2865,5					
	1567,1	1447,8	1799,8					
	-959,63	-20544	-517,68					
	482,03	247,12	267,05					

TABULKA VARIANT - 4ČL. MECHANISMUS - OBOUSTRANNÝ  
NÁHON

	JEDNOTKY	1	2	3	4	5
$w_1 = c_2$	Nm	100 000				
$w_2 = c_5$	Nm	18 000				36 000
$w_3 = c_4$	Nm	43 000				
$w_4 = c_7$	Nm	43 000				
$w_5 = k_2$	$\text{kg m}^2/\text{s}$	15				
$w_6 = k_4$	$\text{kg m}^2/\text{s}$	26				
$w_7 = k_5$	$\text{kg m}^2/\text{s}$	15				
$w_8 = k_7$	$\text{kg m}^2/\text{s}$	26				
$w_9 = l_{28}$	m	0,029				
$w_{10} = \omega$	rad-s <sup>-1</sup>	60				
$w_{11} = x_A$	m	0,189				
$w_{12} = l_3$	m	0,037				
$w_{13} = l_4$	m	0,188				
$w_{14} = l_{57}$	m	0,029				
$w_{15} = n_0$	Nm	800				
$w_{16} = x_B$	m	0,189				
$w_{17} = l_6$	m	0,037				
$w_{18} = l_7$	m	0,188				
$w_{19} = I_{29}$	$\text{kg m}^2$	0,0043				
$w_{20} = I_4$	$\text{kg m}^2$	0,025				
$w_{21} = I_{4P}$	$\text{kg m}^2$	0,35	0,3		0,38	0,3
$w_{22} = I_{5P}$	$\text{kg m}^2$	0,0043				
$w_{23} = I_7$	$\text{kg m}^2$	0,35	0,3		0,38	0,3
$w_{24} = V$	rad	0		0,01		
$w_{25} = Y$	rad	0		0,01		
$w_{26} = U$	rad	0		0,01		
$w_{27} = Z$	rad	0		0,01		
$\omega_1$	Hz	90,9	86,95	76,92	66,66	80
$\varphi_4 \min$		2,7754	2,7751	2,7648	2,7658	2,7645
$\varphi_4 \max$		3,0905	3,0905	3,0805	3,0807	3,0806
$w_4 \min$		-17,077	-15,352	-20,157	-19,515	-20,157
$w_4 \max$		12,218	11,865	12,253	12,477	12,207
$e_4 \min$		-2284,1	-2664,4	-2664,4	-2103,8	-2664,4
$e_4 \max$		2401,4	2521	4094,7	3749,3	4198,2
$e_5 \min$		-1453,5	-1518	-4702,3	-4298,8	-6943,6
$e_5 \max$		1310,3	1403,8	3442,8	3464,3	4820,2
$n_2 \min$				-163,59	-100,16	-103,02
$n_2 \max$				221,84	201,47	221,84

Seznam literatury

- /1/ Ing. Bradský - Ing. Vrzala:Mechanika III /Dynamika/  
Skripta VŠST Liberec, 1980
- /2/ Doc.Ing.Charvát,CSc:Mechanika II /Dynamika/  
Scripta VŠST Liberec, 1978
- /3/ Prof.RNDr.Stříž,CSc a kol.:Pružnost a pevnost  
Skripta VŠST Liberec, 1983
- /4/ Doc.Ing.Mrázek,CSc:Dynamické vlastnosti tkacích  
strojů.Výzkumná zpráva, VŠST Liberec, 1985

1	HŘÍDEL Ø 45 - 1774	ČSN 425510.10	11 700	001	22,5	1
1	TRUBKA 108x10-1872	ČSN 425715.01	11 343	007	46	2
1	ČEP KLIKY 15-50	ČSN 425510.10	11 523,1	007	0,035	3
1	ČEP 12 - 30	ČSN 425510.10	11 523,1	007	0,018	4
1	KLIKA	ČSN 42534002	11 373	000	2,1	5
1	TĚHLICE	ČSN 42552211	11 700	001	0,3	6
1	PODBIDELNICE 60 - 1789,5	ČSN 425715.01	11 523,1	007	22,1	7
1	MEČÍK	ČSN 420055	42 4250	812	0,6	8
1	DRŽÁK	ČSN 420055	42 4250	812	2,3	9
1	POUZDRO 18-20	ČSN 425510.10	11 523	007	0,02	10
1	LIŠTA 17x9	ČSN 425510.10	11 523	007	1,7	11
1	DRŽÁK	ČSN 420055	42 4250	812	0,008	12
1	OZUBENÉ KOLO	ČSN 425510.10	11 523,1	001	2,1	13
2	KROUŽEK 15x1,5	ČSN 425510.10	11 343	007	0,01	14
1	KOLÍK 15x20	ČSN 022150	11 500	001	0,01	15
2	KROUŽEK 28	ČSN 022931		0,012		16
2	KROUŽEK 85	ČSN 022931		0,03		17
1	KROUŽEK 45	ČSN 022930		0,02		18
1	KROUŽEK 12	ČSN 022930		0,01		19
1	ŠROUB M6x16	ČSN 021151.15		0,005		20

7. Blatná

VŠST  
LIBEREC

4.ČL.

PŘÍRAZOVÝ  
MECHANISMUS

KTS - 124 - 01

1	ŠROUB M12x66	ČSN02114352	0,038	21 -
1	PODLOŽKA 12	ČSN02174000	0,002	22 -
2	ŠROUB M8x26	ČSN02110110	0,014	23 -
2	PODLOŽKA 8	ČSN02174000	0,002	24 -
1	ŠROUB M8x40	ČSN02110110	0,02	25 -
1	PERO 10 e7x8x48	ČSN022562	0,022	26 -
4	LOŽISKO 6208	ČSN024630		27 -
1	LOŽISKO 6208	ČSN024630		28 -
1	KONFUZOR			29 -
1	PAPRSEK	ČSN813820		30 -
1	PŘIFUKOVACÍ			31 -
1	TRYSKA			
4	LISTY	ČSN813450		32 -

7. Blaha

VŠST  
LIBEREC

4.CL. PŘÍRAZOVÝ  
MECHANISMUS

KTS - 124-02